

Поиск аномальных вершин в формализме вершинной функции для процесса рождения Z -бозона с фотоном в эксперименте АТЛАС

Студент гр. Б20-102: Чехонина Алёна Александровна,
Научный руководитель: Солдатов Е.Ю., к.ф.- м.н., доцент,
Научный консультант: Семушин А.Е., инженер

НИЯУ МИФИ

07.05.2024

Цель работы: развитие метода постановки ограничений, получение более строгих пределов на константы связи в вершинном формализме. В рамках поставленной цели нужно выполнить следующие **задачи**:

- 1 определить чувствительную к аномальным взаимодействиям переменную процесса;
- 2 поставить пределы на коэффициенты связи;
- 3 оценить влияние отборов на адронные струи на пределы;
- 4 установить, являются ли полученные пределы унитаризованными.

Теоретическое введение

Вершинная функция [1, 2, 3]

$$\Gamma_{Z\gamma V}^{\alpha\beta\mu}(q_1, q_2, P) = \frac{i(P^2 - m_V^2)}{m_Z^2} \left\{ h_1^V (q_2^\mu g^{\alpha\beta} - q_2^\alpha g^{\mu\beta}) + \frac{h_2^V}{m_Z^2} P^\alpha [(P q_2) g^{\mu\beta} - q_2^\mu P^\beta] - \right. \\ \left. - (h_3^V + h_5^V \frac{P^2}{m_Z^2}) \epsilon^{\mu\alpha\beta\rho} q_{2\rho} - \frac{h_4^V}{m_Z^2} P^\alpha \epsilon^{\mu\beta\rho\sigma} P_\rho q_{1\sigma} + \frac{h_6^V}{m_Z^2} P^2 [q_2^\alpha g^{\mu\beta} - q_2^\mu g^{\alpha\beta}] \right\} \quad (1)$$

Аномальная добавка [1, 2, 3]

$$\mathcal{L} = \frac{e}{m_Z^2} \left\{ -[h_1^\gamma \partial^\sigma A_{\sigma\mu} + h_1^Z \partial^\sigma Z_{\sigma\mu}] Z_\beta A^{\mu\beta} - \left[\frac{h_2^\gamma}{m_Z^2} \partial_\alpha \partial_\beta \partial^\rho A_{\rho\mu} + \frac{h_2^Z}{m_Z^2} \partial_\alpha \partial_\beta (\partial^2 + m_Z^2) Z_\mu \right] Z^\alpha A^{\mu\beta} - \right. \\ - [h_3^\gamma \partial_\sigma A^{\sigma\rho} + h_3^Z \partial_\sigma Z^{\sigma\rho}] Z^\alpha \tilde{A}_{\rho\alpha} + \left[\frac{h_4^\gamma}{2m_Z^2} \partial^2 \partial^\sigma A^{\rho\alpha} + \frac{h_4^Z}{2m_Z^2} (\partial^2 + m_Z^2) \partial^\sigma A^{\rho\alpha} \right] Z_\sigma \tilde{A}_{\rho\alpha} - \\ \left. - \left[\frac{h_5^\gamma}{m_Z^2} \partial^2 \partial_\sigma A^{\rho\sigma} + \frac{h_5^Z}{m_Z^2} \partial^2 \partial_\sigma Z^{\rho\sigma} \right] Z^\alpha \tilde{A}_{\rho\alpha} - \left[\frac{h_6^\gamma}{m_Z^2} \partial^2 \partial_\sigma A^{\rho\sigma} + \frac{h_6^Z}{m_Z^2} \partial^2 \partial_\sigma Z^{\rho\sigma} \right] Z^\alpha A_{\rho\alpha} \right\} \quad (2)$$

На коэффициенты связи — h_i^V — можно поставить ограничения.

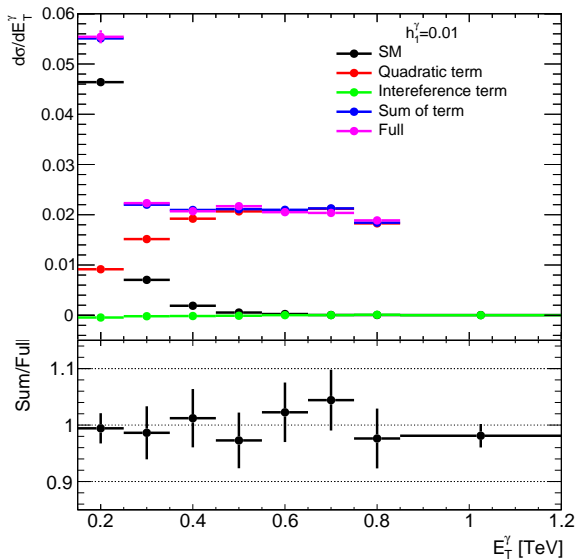
Метод декомпозиции и его проверка

В данной работе использовался **метод декомпозиции**, который является новым для исследования вершинных функций [4].

Метод заключается в том, что наборы генерируются отдельно для линейного, квадратичного слагаемого и слагаемого, отвечающего СМ.

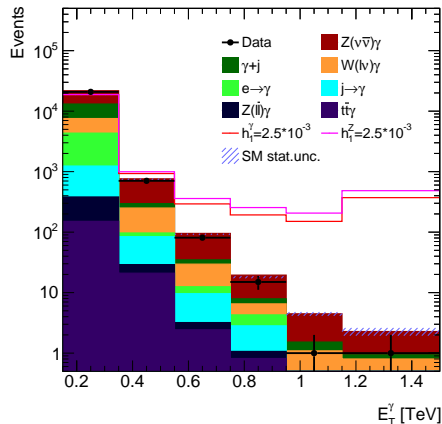
$$\begin{aligned} \mathcal{A} &= \mathcal{A}_{\text{SM}} + h_i \mathcal{A}_i \\ |\mathcal{A}|^2 &= |\mathcal{A}_{\text{SM}}|^2 + h_i 2\text{Re} \mathcal{A}_{\text{SM}}^\dagger \mathcal{A}_i + h_i^2 |\mathcal{A}_i|^2 \end{aligned} \quad (3)$$

Для моделирования отдельных слагаемых используется **MadGraph5**.



Модель и отборы

- Монте-Карло моделирование аномальных вкладов: **MadGraph5**.
- Систематическая погрешность принята равной 10%.
- В модели учитываются все фоновые процессы.
- Основные отборы [5]:
 $p_T^\gamma > 150$ ГэВ,
 $N_\gamma = 1$, $N_{e,\mu} = 0$,
 $E_T^{miss} > 130$ ГэВ,
Инклюзивный случай: $N_{jet} \geq 0$
Эксклюзивный случай: $N_{jet} = 0$



Постановка ожидаемых пределов

Наилучшие пределы получены без вето на струи.

коэф.	Метод оптимизации	Пределы, основанные на распределении	
	Инклюзивный	Эксклюзивный	Инклюзивный
h_1^γ	$(-2.7 \times 10^{-4}, 2.8 \times 10^{-4})$	$(-2.6 \times 10^{-4}, 2.7 \times 10^{-4})$	$(-2.6 \times 10^{-4}, 2.6 \times 10^{-4})$
h_1^Z	$(-2.4 \times 10^{-4}, 2.4 \times 10^{-4})$	$(-2.3 \times 10^{-4}, 2.3 \times 10^{-4})$	$(-2.2 \times 10^{-4}, 2.3 \times 10^{-4})$
h_2^γ	$(-2.5 \times 10^{-7}, 2.5 \times 10^{-7})$	$(-2.7 \times 10^{-7}, 2.7 \times 10^{-7})$	$(-2.5 \times 10^{-7}, 2.5 \times 10^{-7})$
h_2^Z	$(-2.3 \times 10^{-7}, 2.3 \times 10^{-7})$	$(-2.5 \times 10^{-7}, 2.5 \times 10^{-7})$	$(-2.2 \times 10^{-7}, 2.2 \times 10^{-7})$
h_3^γ	$(-2.8 \times 10^{-4}, 2.7 \times 10^{-4})$	$(-2.6 \times 10^{-4}, 2.6 \times 10^{-4})$	$(-2.6 \times 10^{-4}, 2.6 \times 10^{-4})$
h_3^Z	$(-2.4 \times 10^{-4}, 2.4 \times 10^{-4})$	$(-2.3 \times 10^{-4}, 2.3 \times 10^{-4})$	$(-2.2 \times 10^{-4}, 2.3 \times 10^{-4})$
h_4^γ	$(-2.4 \times 10^{-7}, 2.4 \times 10^{-7})$	$(-2.7 \times 10^{-7}, 2.6 \times 10^{-7})$	$(-2.5 \times 10^{-7}, 2.4 \times 10^{-7})$
h_4^Z	$(-2.4 \times 10^{-7}, 2.4 \times 10^{-7})$	$(-2.3 \times 10^{-7}, 2.3 \times 10^{-7})$	$(-2.2 \times 10^{-7}, 2.2 \times 10^{-7})$
h_5^γ	$(-1.3 \times 10^{-7}, 1.3 \times 10^{-7})$	$(-1.5 \times 10^{-7}, 1.5 \times 10^{-7})$	$(-1.2 \times 10^{-7}, 1.2 \times 10^{-7})$
h_5^Z	$(-1.1 \times 10^{-7}, 1.1 \times 10^{-7})$	$(-1.4 \times 10^{-7}, 1.4 \times 10^{-7})$	$(-1.1 \times 10^{-7}, 1.1 \times 10^{-7})$
h_6^γ	$(-1.3 \times 10^{-7}, 1.3 \times 10^{-7})$	$(-1.5 \times 10^{-7}, 1.5 \times 10^{-7})$	$(-1.2 \times 10^{-7}, 1.2 \times 10^{-7})$
h_6^Z	$(-1.1 \times 10^{-7}, 1.1 \times 10^{-7})$	$(-1.4 \times 10^{-7}, 1.3 \times 10^{-7})$	$(-1.1 \times 10^{-7}, 1.1 \times 10^{-7})$

Сравнение ожидаемых полученных в данной работе и опубликованных одномерных пределов с доверительной вероятностью 95% [4, 6]

Коэф.	Полученные пределы	Опубликованные пределы
h_1^γ	$(-2.6 \times 10^{-4}, 2.6 \times 10^{-4})$	$(-3.7 \times 10^{-4}, 3.7 \times 10^{-4})$
h_1^Z	$(-2.2 \times 10^{-4}, 2.3 \times 10^{-4})$	$(-3.3 \times 10^{-4}, 3.3 \times 10^{-4})$
h_2^γ	$(-2.5 \times 10^{-7}, 2.5 \times 10^{-7})$	—
h_2^Z	$(-2.2 \times 10^{-7}, 2.2 \times 10^{-7})$	—
h_3^γ	$(-2.6 \times 10^{-4}, 2.6 \times 10^{-4})$	$(-3.7 \times 10^{-4}, 3.7 \times 10^{-4})$
h_3^Z	$(-2.2 \times 10^{-4}, 2.3 \times 10^{-4})$	$(-3.2 \times 10^{-4}, 3.3 \times 10^{-4})$
h_4^γ	$(-2.5 \times 10^{-7}, 2.4 \times 10^{-7})$	$(-4.4 \times 10^{-7}, 4.3 \times 10^{-7})$
h_4^Z	$(-2.2 \times 10^{-7}, 2.2 \times 10^{-7})$	$(-4.5 \times 10^{-7}, 4.4 \times 10^{-7})$
h_5^γ	$(-1.2 \times 10^{-7}, 1.2 \times 10^{-7})$	—
h_5^Z	$(-1.1 \times 10^{-7}, 1.1 \times 10^{-7})$	—
h_6^γ	$(-1.2 \times 10^{-7}, 1.2 \times 10^{-7})$	—
h_6^Z	$(-1.1 \times 10^{-7}, 1.1 \times 10^{-7})$	—

Унитаризация

Границы унитарности для четырех коэффициентов связи [3]

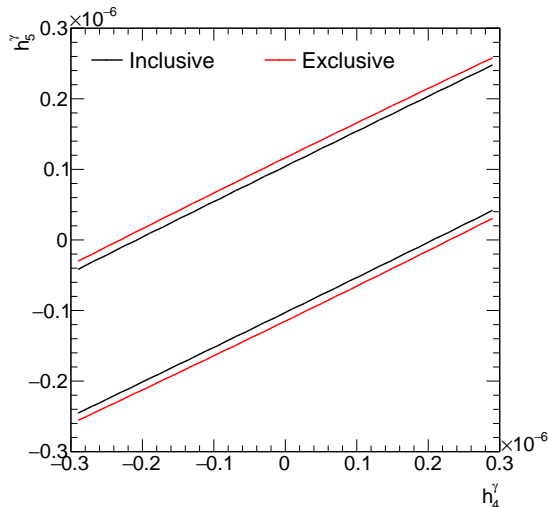
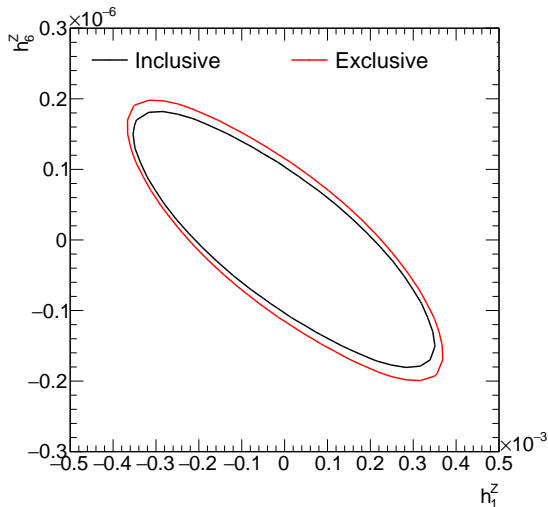
$$|h_{3,1}^\gamma| < \frac{6\sqrt{2}\pi v^2 m_Z}{s_W^2 c_W^2 |Q|\hat{s}^{3/2}}, \quad |h_{3,1}^Z| < \frac{6\sqrt{2}\pi v^2 m_Z}{s_W c_W (T_3 - Q s_W^2)\hat{s}^{3/2}}. \quad (4)$$

Унитарность нарушается при **17 ТэВ** для $h_{3,1}^\gamma$ и при **15 ТэВ** для $h_{3,1}^Z$.

Полученные значения превышают энергию центра масс $\sqrt{s}=13$ ТэВ, в рамках которой проводится анализ.

Двумерные пределы

$$|\mathcal{A}|^2 = |\mathcal{A}_{\text{SM}}|^2 + h_i^2 |\mathcal{A}_i|^2 + h_j^2 |\mathcal{A}_j|^2 + h_i 2\text{Re}\mathcal{A}_{\text{SM}}^\dagger \mathcal{A}_i + h_j 2\text{Re}\mathcal{A}_{\text{SM}}^\dagger \mathcal{A}_j + h_i h_j 2\text{Re}\mathcal{A}_i^\dagger \mathcal{A}_j \quad (5)$$



Вывод

- Поставленные одномерные и двумерные пределы на коэффициенты связи **в инклюзивном случае оказались лучше**, чем в эксклюзивном,
- В рамках данного исследования получено **значительное улучшение пределов** на все коэффициенты связи по сравнению с опубликованными.
- Полученные пределы для коэффициентов $h_{3,1}^Z$ и $h_{3,1}^\gamma$ являются **унитаризованными** в условиях работы эксперимента АТЛАС.
- Также установлено, что новые коэффициенты h_5^V, h_6^V являются **полностью коррелирующими** с коэффициентами h_4^V, h_2^V соответственно.

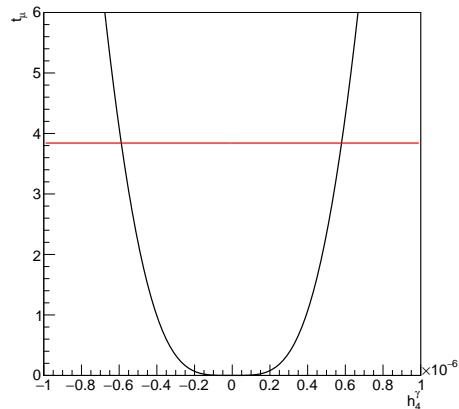
Дальнейшие планы:

- Создать улучшенную статистическую модель, и проверить полученные результаты для нее. Наборы для аномальной вкладов, включающие полную симуляцию детектора АТЛАС, уже заказаны, т.е. в ближайшее время будут получены более точные результаты.
- Проверить, являются ли пределы на коэффициенты h_4^γ, h_4^Z унитаризованными.

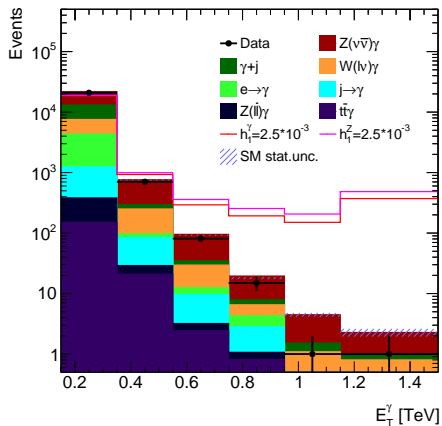
Спасибо за внимание!

Back-Up

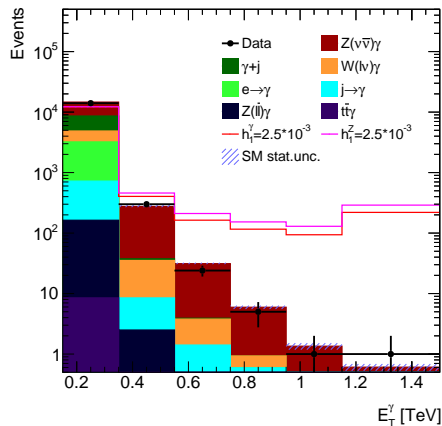
$$t_\mu = -2 \ln \frac{L(\mu, \hat{\theta}(\mu))}{L(\hat{\mu}, \hat{\theta})} \quad (6)$$



Инклюзивный случай



Эксклюзивный случай



Двумерные пределы

